
PROGETTO PER LA REALIZZAZIONE DI UN IMPIANTO PER LA
PRODUZIONE DI ENERGIA MEDIANTE LO SFRUTTAMENTO DEL VENTO
NEL TERRITORIO COMUNALE DI TUSCANIA E VITERBO (VT)
POTENZA NOMINALE 129,6 MW

PROGETTO DEFINITIVO - SIA

PROGETTAZIONE E SIA

ing. Fabio PACCAPELO

ing. Andrea ANGELINI

ing. Antonella Laura GIORDANO

ing. Francesca SACCAROLA

COLLABORATORI

dr.ssa Anastasia AGNOLI

ing. Giulia MONTRONE

STUDI SPECIALISTICI

IMPIANTI ELETTRICI

ing. Roberto DI MONTE

GEOLOGIA

geol. Matteo DI CARLO

ACUSTICA

ing. Antonio FALCONE

NATURA E BIODIVERSITÀ

BIOPHILIA - dr. Gianni PALUMBO dr. Michele BUX

STUDIO PEDO-AGRONOMICO

dr. Gianfranco GIUFFRIDA

ARCHEOLOGIA

ARSARCHEO - dr. archeol. Andrea RICCHIONI dr. archeol. Gabriele MONASTERO

INTERVENTI DI COMPENSAZIONE E VALORIZZAZIONE

arch. Gaetano FORNARELLI

arch. Andrea GIUFFRIDA

PD.R. ELABORATI DESCRITTIVI

R.5 Relazione geotecnica e sismica

REV.	DATA	DESCRIZIONE



INDICE

1. PREMESSE	1
2. CARATTERIZZAZIONE GEOLOGICA	2
2.1. ASSETTO GEOLOGICO E STRUTTURALE	2
2.2. INQUADRAMENTO SISMICO DELL'AREA	5
2.3. USO DEL SUOLO	6
3. STRATIGRAFIA E CARATTERI FISICO-MECCANICI DEI TERRENI	8
4. CENNI TEORICI SULLE VERIFICHE GEOTECNICHE	10
4.1. CARICO LIMITE VERTICALE DEI PALI DI FONDAZIONE	10
4.1.1. <i>Resistenza alla punta</i>	10
4.1.2. <i>Resistenza laterale del fusto</i>	11
4.2. CAPACITÀ PORTANTE DELLE FONDAZIONI SUPERFICIALI	11
5. COMBINAZIONI DI CALCOLO E VERIFICA AGLI STATI LIMITE ULTIMI (SLU)	15
6. VERIFICHE AGLI STATI LIMITE DI ESERCIZIO (SLE)	17



1. PREMESSE

Nella presente relazione vengono esaminati gli aspetti geotecnici di un'area interessata dalla costruzione di un Parco Eolico da realizzarsi all'interno del territorio comunale di Foggia (FG) per la produzione di energia elettrica da fonte rinnovabile (vento) e l'immissione dell'energia prodotta, attraverso un'opportuna connessione, nella Rete di Trasmissione Nazionale (RTN).

Lo studio ha avuto lo scopo, attraverso indagini indirette, di identificare, classificare e definire puntualmente le caratteristiche geotecniche delle unità litostratigrafiche delle aree di sedime interessate dalle opere in progetto.

Nello specifico sono state eseguite:

- n. 8 tomografie sismiche;
- n. 8 prospezioni sismiche a rifrazione di superficie secondo la tecnica MASW (Multichannel Analysis of Surface Waves).

Il progetto prevede la costruzione di n. 18 aerogeneratori della potenza unitaria di 7.2 MW (per una potenza complessiva di 129.6 MW) sorrette da una platea di fondazione circolare in calcestruzzo armato gettato in opera del diametro di 29 m (altezza variabile da 130 cm a 260 cm) su n. 16 pali trivellati di profondità di circa 25 m e diametro pari a 120 cm. È inoltre prevista la realizzazione di vani tecnici realizzati in calcestruzzo armato gettato in opera, ovvero di una cabina di trasformazione/elevazione MT/AT 30/150 kV e sottostazione elettrica consegna (o SSE).

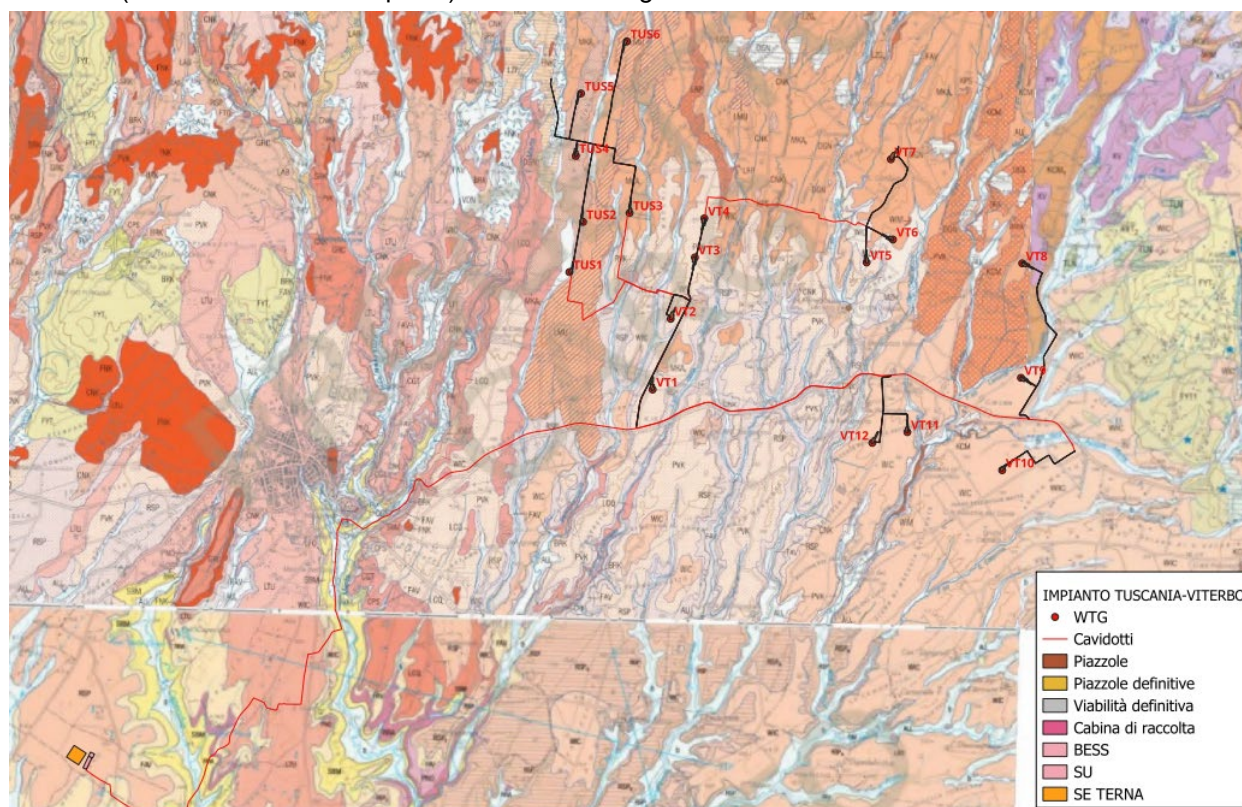
Per definire la caratterizzazione geotecnica del sottosuolo e la scelta ottimale del tipo di fondazione delle opere del progetto sono stati utilizzati i dati geologici, geotecnici ed idrogeologici rilevabili anche dalla bibliografia disponibile per il territorio in esame.



2. CARATTERIZZAZIONE GEOLOGICA

2.1. ASSETTO GEOLOGICO E STRUTTURALE

La superficie interessata dallo studio ricade nei **Fogli 344 – 345 - 354** della Carta Geologica d'Italia in scala 1:50.000 (Tuscania/Viterbo/Tarquinia) redatta dal Progetto CARG.



*Inquadramento impianto su carta geologica 1: 50.000 Fogli 344-345 e354 Aerogeneratori nel comune di Viterbo e
Tuscania e opere connesse, SSE nel comune di TUSCANIA*

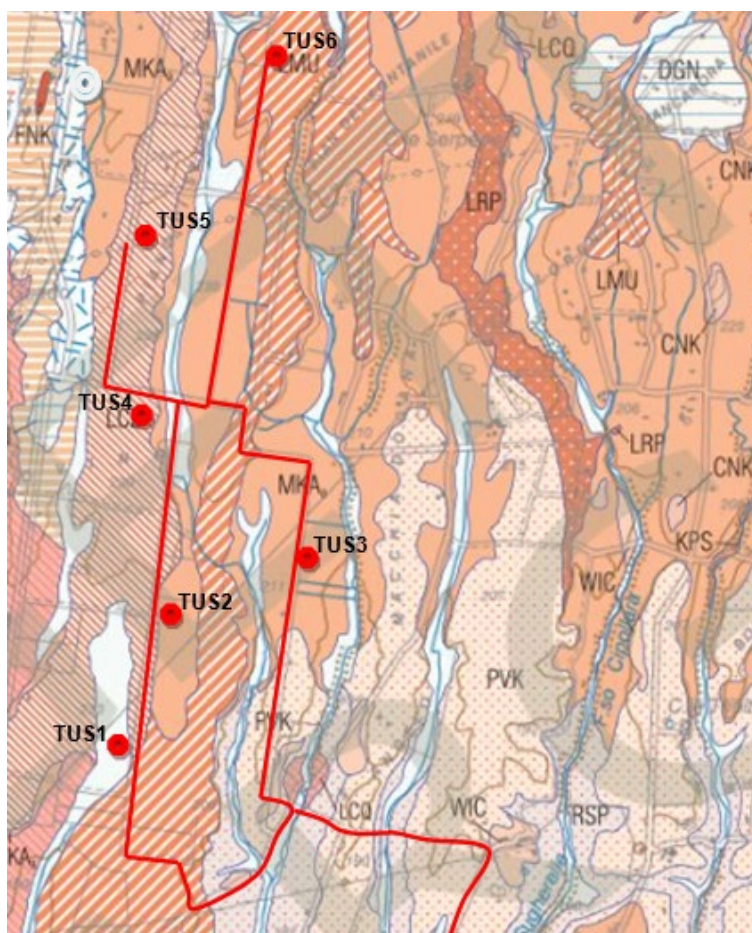
In sintesi, gli aerogeneratori del Parco Eolico siti nel comune di Tuscania e Viterbo insistono su terreni come di seguito specificato:

- L'Aerogeneratore **TUS1** ricade su terreni alluvionali (**AU_b**) costituiti essenzialmente da limi, sabbie e argille con intercalazioni ghiaiose, a volte, con orizzonti torbosi.
- Gli aerogeneratori **TUS2** e **TUS3** ricadono su terreni costituiti essenzialmente da banchi di lapilli con inclusi litici lavici, alternati a depositi cineritici (**MKA_a**).
- Gli aerogeneratori **TUS4** e **TUS5** ricadono su terreni costituiti essenzialmente da banchi di lapilli con inclusi litici lavici, alternati a depositi cineritici (**MKA_a**), all'interno del banco soprattutto negli strati più superficiali si rinvengono dei livelli di lava compatta di colore grigio scuro (**LCZ**) con spessori di ordine metrico.
- L'Aerogeneratore **TUS6** ricade su terreni (**LMU**) costituiti essenzialmente da lave compatte, a volte vacuolari di colore grigio piombo dello spessore dell'ordine 2-10 metri.
- Gli Aerogeneratori **VT1**, **VT2**, **VT3** e **VT4** ricadono su terreni appartenenti all'Unità di Pian di Vico (**PVK**) costituiti essenzialmente da depositi vulcanoclastici secondari poco coerenti con granulometria assimilabile ad una sabbia grossolana sciolta, dello spessore dell'ordine 2-3 metri

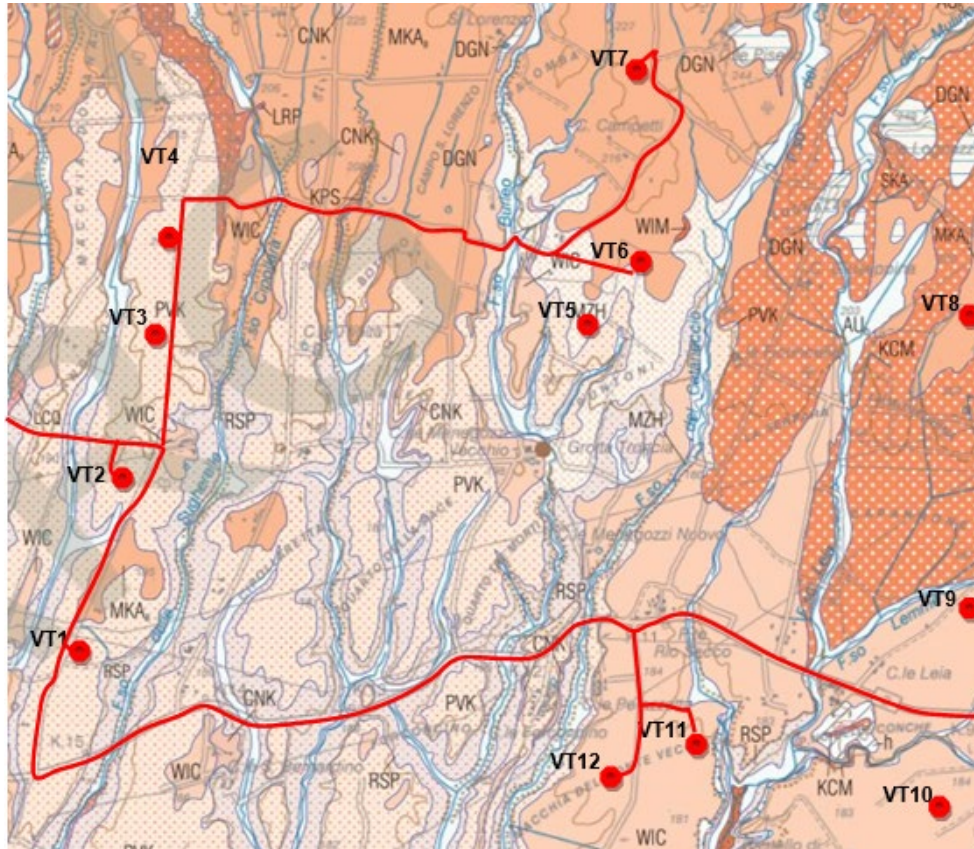


- L'**Aerogeneratore VT5** ricade su terreni appartenenti alla Formazione di Canino (**MZH**) costituiti essenzialmente da lave compatte di colore grigio scuro
- Gli **Aerogeneratori VT6, VT7 e VT8** ricadono su terreni appartenenti alla Formazione di Canino (**CNK**) costituiti essenzialmente da depositi massivi incoerenti contenenti pomici di vario colore con inclusi litici di natura lavica dello spessore dell'ordine alcune decine di metri.
- Gli **Aerogeneratori VT9, VT10, VT11 e VT12** ricadono su terreni appartenenti all'Unità del Tufo Rosso a Scorie Nere (**WIC**) costituiti essenzialmente da depositi massivi provenienti da colate piroclastiche incoerenti di colore bruno-rossastra dello spessore dell'ordine 10-15 metri.

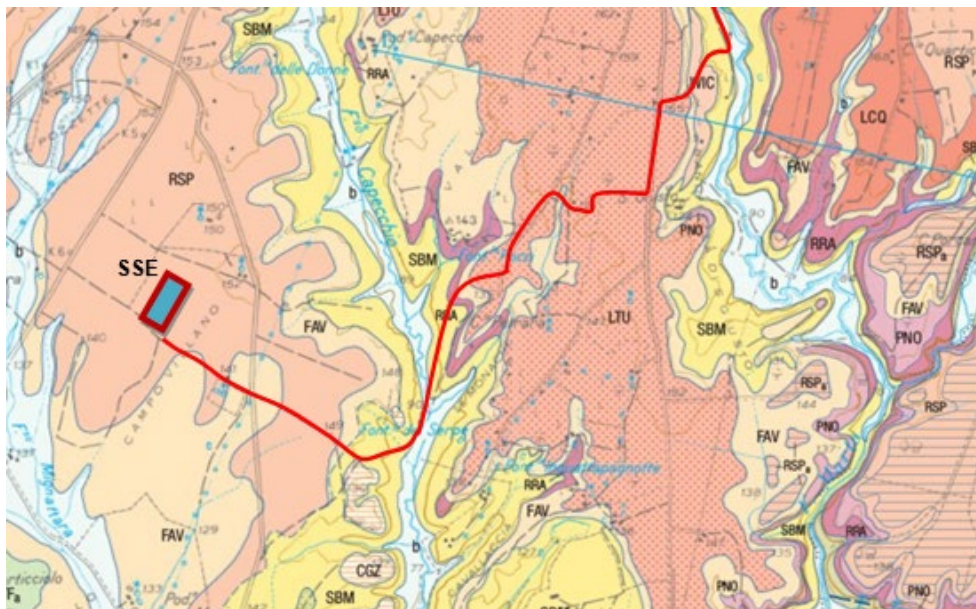
Localmente la parte sommitale delle aree dove insistono gli aerogeneratori è profondamente pedogenizzata e tutte queste unità sopra descritte poggiano sulla UNITA' di POGGIO TERZOLO (**PTZ**) costituita da argille sabbiose a luoghi con cristalli di gesso, con spessore massimo dei 40-50 metri, che a sua volta poggia sul FLYSCH DELLA TOLFA (**FYT**) costituito da alternanze di calcareniti, calcari marnosi, argille e silt, che rappresenta il substrato profondo dell'intera area oggetto di studio di base.



DETTAGLIO Inquadramento impianto su carta geologica 1: 50.000 Foglio 344 Aerogeneratori nel comune di TUSCANIA



DETTAGLIO Inquadramento impianto su carta geologica 1: 50.000 Foglio 344 Aerogeneratori siti nel comune di VITERBO

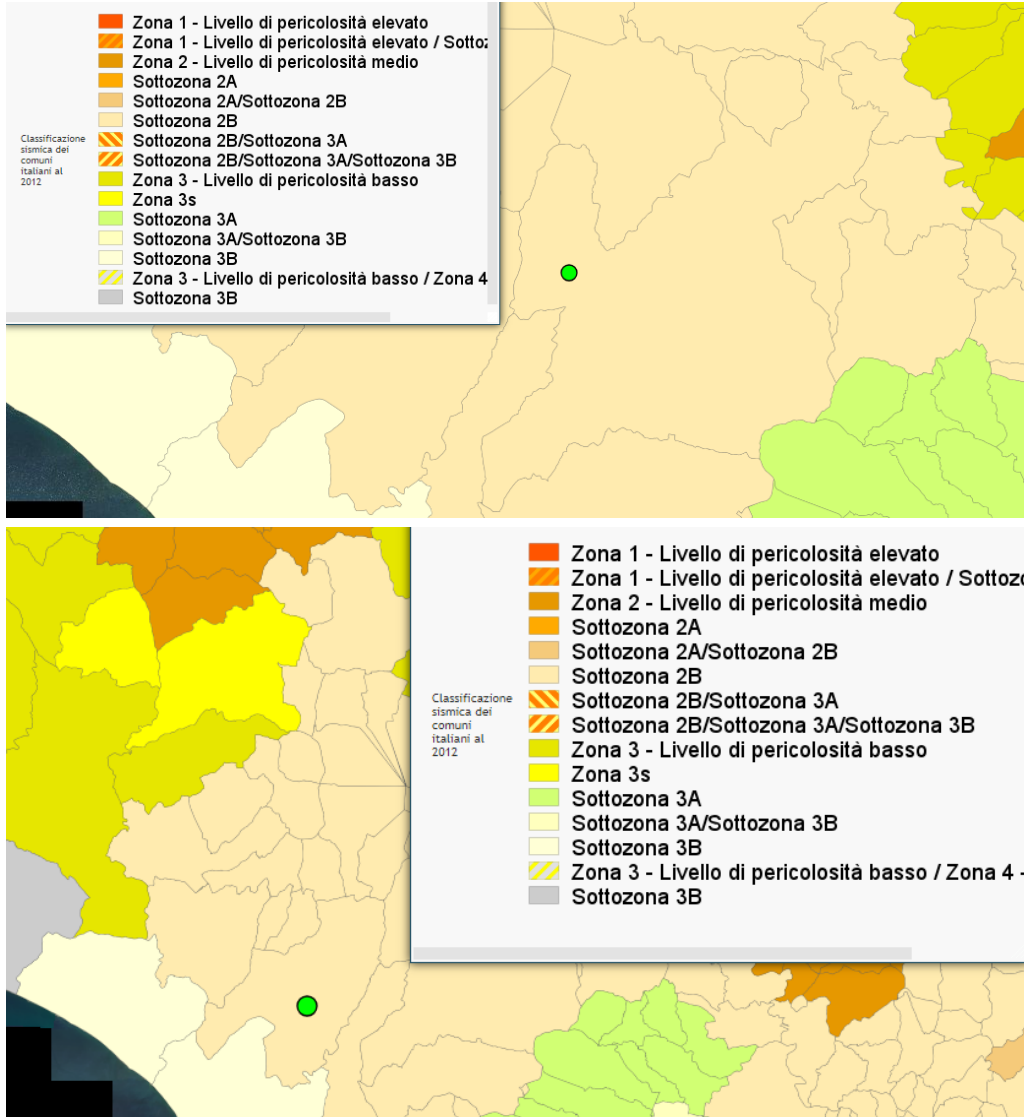


Inquadramento cavidotto e Sottostazione Elettrica su carta geologica 1: 50.000 Foglio 354



2.2. INQUADRAMENTO SISMICO DELL'AREA

Si illustra di seguito la Classificazione sismica del Comune di Viterbo secondo l'Ordinanza del Presidente del Consiglio dei Ministri n. 3274/2003, aggiornata con la Delibera della Giunta Regionale del Lazio n. 387 del 22 maggio 2009, successivamente modificata con la D.G.R. n. 571 del 2 agosto 2019.



Individuazione dei comuni di **Tuscania** e **Viterbo** Area Aerogeneratori classificazione sismica

Sottozona 2B Livello di pericolosità sismica medio

Individuazione del comune di **Tuscania** in funzione della classificazione sismica **Sottozona 2B** Area Sottostazione **SSE**

Zona sismica Sottozona 2B	Zona con pericolosità sismica media, dove possono verificarsi forti terremoti con valori di $a_g < 0,20$ g
--------------------------------------	--

Entrambe le zone sono classificate dal punto di vista della pericolosità sismica come Sottozona 2B

Nell'ambito del presente studio, sono state eseguiti n. 8 profili MASW (*Multichannel Analysis of Surface Waves*). Sulla base dell'indagine sismica è stato possibile stimare la categoria di suolo per il sito in esame.



Dalle risultanze della prospezione sismica, è emerso che per gli aerogeneratori **TUS1, TUS2, TUS3, TUS4, TUS5, VT1, VT2, VT3, VT4, VT5, VT6, VT7, VT8, VT9, VT10, VT11 e VT12** l'area in studio è classificata come **Categoria "B"** Depositi di ghiaia e sabbia molto addensate o di argille molto consistenti con **Vs30** compreso tra **403.3 m/s e 642.1 m/s**.

La Sottostazione di Trasformazione Elettrica (**SSE**) l'area in studio è sempre classificata come **Categoria "C"** Depositi di ghiaia e sabbia mediamente addensate o di argille di media consistenza con **Vs30** pari a **335.1 m/s**.

Categoria	Descrizione
A	Ammassi rocciosi affioranti o terreni molto rigidi caratterizzati da valori di velocità delle onde di taglio superiori a 800 m/s, eventualmente comprendenti in superficie terreni di caratteristiche meccaniche più scadenti con spessore massimo pari a 3 m.
B	Rocce tenere e depositi di terreni a grana grossa molto addensati o terreni a grana fina molto consistenti, caratterizzati da un miglioramento delle proprietà meccaniche con la profondità e da valori di velocità equivalente compresi tra 360 m/s e 800 m/s.
C	Depositi di terreni a grana grossa mediamente addensati o terreni a grana fina mediamente consistenti con profondità del substrato superiori a 30 m, caratterizzati da un miglioramento delle proprietà meccaniche con la profondità e da valori di velocità equivalente compresi tra 180 m/s e 360 m/s.
D	Depositi di terreni a grana grossa scarsamente addensati o di terreni a grana fina scarsamente consistenti, con profondità del substrato superiori a 30 m, caratterizzati da un miglioramento delle proprietà meccaniche con la profondità e da valori di velocità equivalente compresi tra 100 e 180 m/s.
E	Terreni con caratteristiche e valori di velocità equivalente riconducibili a quelle definite per le categorie C o D, con profondità del substrato non superiore a 30 m.

Si rimanda all'allegato *PD.R.4 Relazione geologica, morfologica e idrogeologica* per i necessari approfondimenti.

2.3. USO DEL SUOLO

Per quanto riguarda l'uso del suolo, si è fatto riferimento alla banca dati georeferenziata costituita dalla "*Carta Corine Land Cover*" elaborata, nella sua prima versione, nel 1990 ed oggetto di successive modifiche ed integrazioni finalizzate ad assicurare l'aggiornamento continuo delle informazioni contenute.

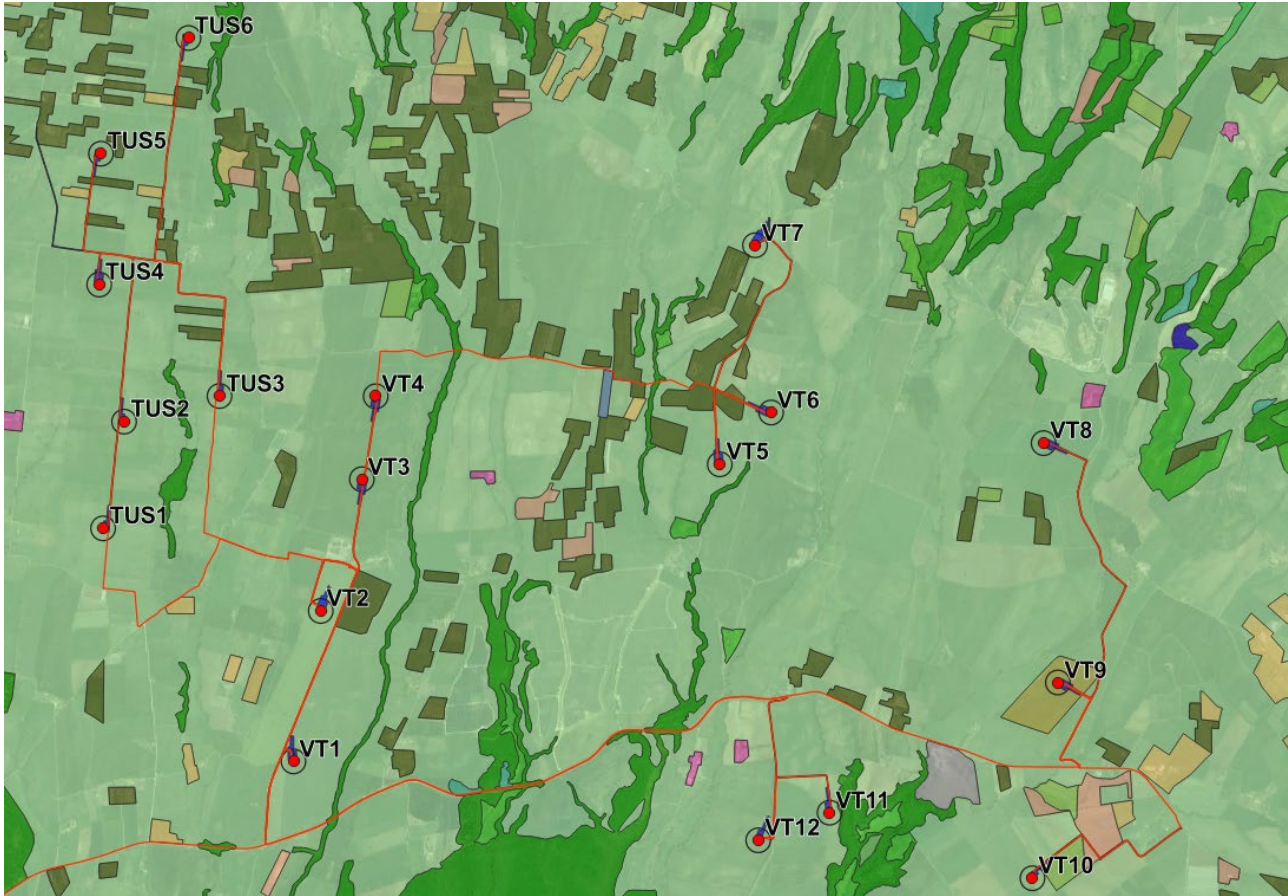
La carta Corine Land Cover suddivide il territorio in sottosistemi, particolareggiando sempre più nel dettaglio le diverse tipologie di paesaggi urbani, agrari, naturali e delle relative attività svolte dall'uomo:

- i territori modellati artificialmente sono suddivisi in zone: urbano, industriali, commerciali, estrattive e aree verdi urbane e agricole.
- i territori agricoli sono articolati in: seminativi, colture permanenti, prati stabili, zone agricole eterogenee;
- i territori boscati e ambienti semi-naturali sono classificati come: zone boscate, zone caratterizzate da vegetazione arbustiva e erbacea, zone aperte con vegetazione rada o assente;
- le zone umide in interne e marittime;
- i corpi idrici in acque continentali e marittime.

Le aree in cui rientra il progetto sono caratterizzate da un elevato utilizzo del suolo a **seminativo semplice** in aree non irrigue e in minima parte a **oliveti e frutteti**. Dal punto di vista insediativo, è presente un tessuto



residenziale sparso e alcuni insediamenti agricoli/industriali/artigianali. Per l'analisi dettagliata dell'uso del suolo si richiama la carta dell'uso del suolo di cui si riporta uno stralcio in Figura.



LAYOUT

● WTG di progetto

— Cavidotti MT

UdS

Carta Uso del suolo

■ Aree a pascolo naturale e praterie d'alta quota

■ Aree estrattive

■ Bacini senza manifeste utilizzazioni produttive

■ Boschi di latifoglie

■ Cespuglieti ed arbusteti

■ Colture temporanee associate a colture permanenti

■ Frutteti e frutti minori

■ Insediamento industriale o artigianale con spazi annessi

■ Oliveti

■ Seminativi semplici in aree irrigue

■ Seminativi semplici in aree non irrigue

■ Sistemi colturali e particellari complessi

■ Superfici a copertura erbacea densa

■ Vigneti

■ Vivai in aree non irrigue

Uso del Suolo



3. STRATIGRAFIA E CARATTERI FISICO-MECCANICI DEI TERRENI

Il modello geologico locale è stato ricostruito attraverso le attività di rilevamento geologico, l'analisi dei dati pregressi disponibili e i risultati delle indagini geofisiche effettuate in situ.

Il sottosuolo investigato è stato contraddistinto in un unico sismostrato caratterizzato da un determinato valore di velocità delle onde di compressione. Generalmente, data la lunghezza dello stendimento eseguito, è stato possibile investigare il sottosuolo fino alla profondità di 30 m a partire dalla superficie topografica. Di seguito si riportano le risultanze di questa base sismica eseguita:

✓ Aerogeneratori: si individua un sismostrato

	Velocità Onde S in m/s	Intervallo di profondità (m)	Descrizione
1	479	1,5 ÷ 7,0	<i>Sabbie limose con possibilità di intercettare limo e ghiaia</i>
2	491	7,0 ÷ 30,0	<i>Argille, argille limose, a luoghi con cristalli di gesso</i>

✓ SSE: si individua un sismostrato

	Velocità Onde S in m/s	Intervallo di profondità (m)	Descrizione
1	243	0,0 ÷ 15,0	<i>Sabbie limose</i>

Sulla base delle indagini geognostiche eseguite è possibile asserire che in corrispondenza delle opere in progetto, sono presenti i seguenti terreni:

- Area installazione aerogeneratori – Sabbie limose con possibilità di intercettare limo e ghiaia (Tab.1)
 Argille, argille limose, a luoghi con cristalli di gesso;
- Area SSE – Sabbie limose (Tab.3).

Tab. 1 - Sabbie limose con possibilità di intercettare limo e ghiaia

Parametri fisici	
p.v. naturale	18.0 kN/mc
p.v. saturo	18.65 kN/mc
poisson	0.46
angolo di attrito	24°

Tab. 2 - Argille, argille limose, a luoghi con cristalli di gesso

Parametri fisici	
p.v. naturale	19.0 kN/mc
p.v. saturo	19.56 kN/mc
poisson	0.47
angolo di attrito	26°



Tab. 3 – Sabbie limose

Parametri fisici	
p.v. naturale	18 kN/mc
p.v. saturo	18.5 kN/mc
poisson	0.49
angolo di attrito	24°

I valori di cui sopra saranno validati in sede di progettazione esecutiva, mediante esecuzione di specifiche indagini geognostiche funzionali a una più dettagliata caratterizzazione stratigrafica e geotecnica di ogni singolo sito di installazione degli aerogeneratori.



4. CENNI TEORICI SULLE VERIFICHE GEOTECNICHE

Si riportano nel seguito le formulazioni teoriche che saranno adottate per le verifiche geotecniche del progetto esecutivo.

4.1. CARICO LIMITE VERTICALE DEI PALI DI FONDAZIONE

È prevista la realizzazione di strutture di fondazione di tipo profondo quali pali trivellati del diametro ϕ 1200 e lunghezza pari a 25 m.

La valutazione del carico limite verticale a **compressione** del palo viene effettuata facendo riferimento alle condizioni drenate per i materiali incoerenti ed alle condizioni non drenate per i materiali coerenti.

La portanza è espressa come somma di due contributi indipendenti:

- resistenza alla punta (alla base) Q_P ;
- resistenza lungo il fusto per attrito laterale Q_L ;

ovvero dalla formula:

$$Q_{lim} = Q_P + Q_L$$

Anche la valutazione del carico limite verticale a **trazione** del palo viene effettuata facendo riferimento alle condizioni drenate per i materiali incoerenti ed alle condizioni non drenate per i materiali coerenti.

La portanza è espressa come somma di due contributi indipendenti:

- peso proprio del palo W_P ;
- resistenza lungo il fusto per attrito laterale Q_L ;

ovvero dalla formula:

$$Q_{lim} = W_P + Q_L$$

4.1.1. Resistenza alla punta

La resistenza alla punta del palo è fornita dall'espressione:

$$P_{pu} = A_p(cN'_c + \eta\bar{q}N'_q + \frac{1}{2}\gamma BN'_\gamma s_\gamma)$$

dove

A_p (superficie della punta del palo) = $(\pi * D^2/4)$

γ = peso di volume del terreno

c = coesione

B = larghezza della punta del palo

L = lunghezza del palo

D = diametro del palo

q = sforzo verticale efficace agente (pressione geostatica) alla profondità a cui è posta la punta del palo

N_q, N_c = fattori di capacità portante

η = coefficiente che assume la seguente formulazione (Vesic)

$$\eta = \frac{1 + 2k_0}{3}$$

nella quale k_0 è il coefficiente di spinta a riposo.

Pertanto la resistenza alla punta del palo è fornita dalla seguente espressione:

$$P_{pu} = A_p(cN'_c + \eta\bar{q}(N'_q - 1))$$



Secondo Vesic, i fattori di capacità portante assumono le seguenti formulazioni:

$$N'_q = \frac{3}{3 - \sin \phi} \left\{ \exp \left[\left(\frac{\pi}{2} - \phi \right) \tan \phi \right] \tan^2 \left(45 + \frac{\phi}{2} \right) I_{rr}^{(4 \sin \phi) / [3(1 + \sin \phi)]} \right\}$$

nella quale l'indice di rigidezza ridotto I_{rr} è pari a:

$$I_{rr} = \frac{I_r}{1 + \epsilon_v I_r}$$

l'indice di rigidezza I_r è pari a:

$$I_r = \frac{G}{c + \bar{q} \tan \theta} = \frac{G}{s}$$

ed ϵ_v è pari a:

$$\epsilon_v = \frac{(1 + \nu)(1 - 2\nu)\sigma_z}{E(1 - \nu)}$$

e

$$N'_c = (N_q - 1) \cot \theta$$

4.1.2. Resistenza laterale del fusto

Il valore della capacità portante laterale del fusto del palo si ricava tramite la formula:

$$Q_L = \sum A_s * f_s$$

nella quale:

A_s = area della superficie laterale efficace del palo

f_s = resistenza che si sviluppa sulla superficie laterale del palo

\sum = sommatoria dei contributi dovuti ai diversi strati geotecnici in cui è suddiviso il palo.

La resistenza laterale f_s si calcola con il metodo α proposto da Tomlinson (1971), ovvero attraverso la formula:

$$f_s = \alpha c + K q \tan \delta$$

dove

α = coefficiente di adesione terreno-pali (pari a 0,40 per i terreni coesivi ed a 1,25 per i terreni incoerenti)

q = pressione efficace agente al centro dello strato di terreno considerato = γH_{med}

H_{med} = quota in mezzeria del tratto considerato rispetto alla sommità del palo

γ = peso di volume del terreno

δ = angolo di attrito efficace calcestruzzo-terreno di fondazione = ϕ

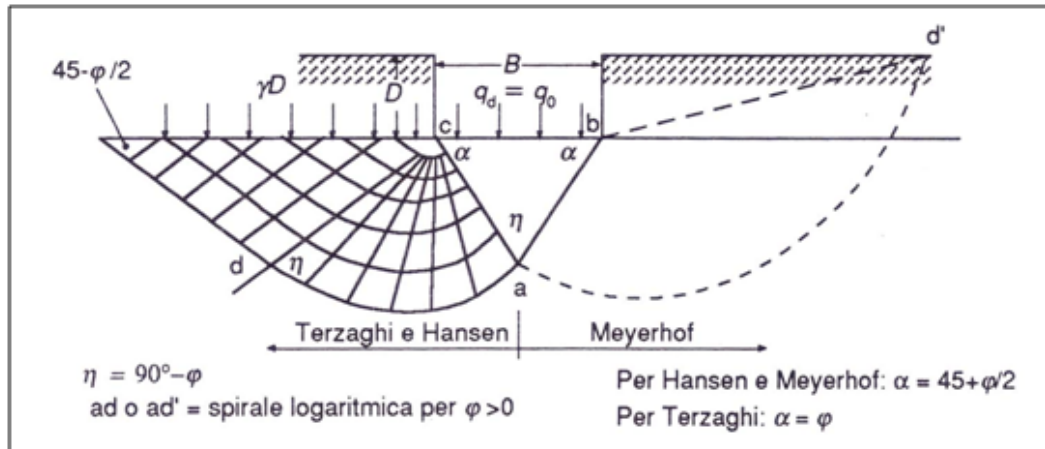
K = coefficiente empirico dipendente dalla natura del terreno e dalle modalità costruttive del palo = k_0 (coefficiente di spinta a riposo) (Ireland, 1957, Flates e Selnes, 1977, Tavenas, 1971)

4.2. CAPACITÀ PORTANTE DELLE FONDAZIONI SUPERFICIALI

Per il calcolo della capacità portante dei terreni di fondazione è stata utilizzata la relazione di **Meyerhof** (1951, 1963), per le piastre di base con carico verticale, che riprende la formulazione di Terzaghi opportunamente modificata mediante l'introduzione di coefficienti correttivi dipendenti dalla forma, profondità ed inclinazione della fondazione:



$$q_{lim} = c \cdot N_c \cdot s_c \cdot d_c + \gamma_1 \cdot D \cdot N_q \cdot s_q \cdot d_q + 0,5 \cdot \gamma_2 \cdot B \cdot N_y \cdot s_y \cdot d_y \quad (1)$$



dove:

c = coesione

γ_1 = peso volume del terreno posto al disopra del piano di fondazione;

γ_2 = peso volume del terreno di fondazione;

D = profondità di incasso della fondazione;

B = lato minore della fondazione

N_c, N_q e N_y = fattori di capacità portante, pari, nel caso di terreni:

$$N_q = e^{\pi \cdot \tan \varphi} \cdot \tan^2 \left(45^\circ + \frac{\varphi}{2} \right)$$

$$N_c = (N_q - 1) \cdot \cot \varphi$$

$$N_y = (N_q - 1) \cdot \tan(1,4 \cdot \varphi)$$

N_c, N_q e N_y = fattori di capacità portante, pari, nel caso di roccia:

$$N_q = \tan^6 \left(45^\circ + \frac{\varphi}{2} \right)$$

$$N_c = 5 \cdot \tan^4 \left(45^\circ + \frac{\varphi}{2} \right)$$

$$N_y = N_q + 1$$

s_c, s_q e s_y, d_c, d_q e d_y = fattori di forma, pari a:

$$s_c = 1 + 0,2 \cdot K_p \cdot \frac{B}{L}$$

$$s_q = s_y = 1 + 0,1 \cdot K_p \cdot \frac{B}{L}$$

$$d_c = 1 + 0,2 \cdot \sqrt{K_p} \cdot \frac{D}{B}$$

$$d_q = d_y = 1 + 0,1 \cdot \sqrt{K_p} \cdot \frac{D}{B}$$

i_c, i_q e i_y = fattori di inclinazione dei carichi dovuti alle forze orizzontali indotte dal sisma, pari a:



$$i_c = i_q = 1 - \frac{\theta}{90}$$

$$i_y = \left(1 - \frac{\theta}{\varphi}\right)^2$$

nelle quali θ è l'angolo di inclinazione del carico = arctang(Khi) ove Khi nello spettro di progetto orizzontale corrisponde al valore delle ordinate al periodo T1 lungo l'asse delle ascisse, pari a

$$K_{hi} = S_S \cdot S_T \cdot \frac{a_g}{g}$$

z_c , z_q e z_y = fattori che tengono conto degli effetti cinematici sul terreno di fondazione secondo il criterio di Paolucci e Pecker, pari a:

$$z_q = z_y = \left(1 - \frac{K_{hk}}{\tan g \varphi}\right)^{0,35}$$

$$z_c = 1 - 0,32 \cdot K_{hk}$$

nelle quali k_{hk} è il coefficiente sismico orizzontale pari a:

$$K_{hk} = \beta_m \cdot S_S \cdot S_T \cdot \frac{a_g}{g}$$

dove β_m è il coefficiente di riduzione dell'accelerazione massima attesa al sito, come indicato dalla tabella 7.11.I del D.M. 14.01.2008, di seguito riportata:

	Categoria di sottosuolo	
	A	B, C, D, E
	β_s	β_s
$0,2 < a_g(g) \leq 0,4$	0,30	0,28
$0,1 < a_g(g) \leq 0,2$	0,27	0,24
$a_g(g) \leq 0,1$	0,20	0,20

Nel caso di fondazioni su roccia il valore del q_{lim} è moltiplicato per R.Q.D.².

Per quanto concerne il valore del **coefficiente di sottofondo** (K di Winkler), è stata utilizzata la relazione proposta dal Vesic (1961) che correla K con il modulo di elasticità del terreno e della fondazione:

$$k'_s = 0,65 \cdot \sqrt[2]{\frac{E_d \cdot B^4}{E_f \cdot I_f}} \cdot \frac{E_s}{1 - \nu^2} \quad (2)$$

dove:

E_d (daN/cm²) = modulo elastico del terreno (Young);

E_f (daN / cm²) = modulo elastico della fondazione;

I_f (cm⁴) = momento d'inerzia della fondazione;

B (cm) = larghezza della fondazione;

ν = rapporto di Poisson.

Poiché il prodotto dei primi due fattori della (2) ha generalmente un valore prossimo all'unità, l'espressione può essere semplificata come segue:



$$k'_s = \frac{E_d}{B \cdot (1 - \nu^2)} \quad (3)$$

Nel caso di fondazione unitaria ($B = 1,00$ m) la costante elastica di sottofondo può essere assunta pari a:

$$k'_s = \frac{E_d}{(1 - \nu^2)} \quad (4)$$



5. COMBINAZIONI DI CALCOLO E VERIFICA AGLI STATI LIMITE ULTIMI (SLU)

In accordo con quanto stabilito dal D.M. 17/01/2018, per ogni stato limite ultimo deve essere rispettata la condizione:

$$E_d \leq R_d$$

dove E_d è il valore di progetto dell'azione o dell'effetto dell'azione

$$E_d = E \left[\gamma_F F_k; \frac{X_k}{\gamma_M}; a_d \right]$$

ovvero

$$E_d = \gamma_E \cdot E \left[F_k; \frac{X_k}{\gamma_M}; a_d \right]$$

con $\gamma_E = \gamma_F$, e dove R_d è il valore di progetto della resistenza del sistema geotecnico:

$$R_d = \frac{1}{\gamma_R} R \left[\gamma_F F_k; \frac{X_k}{\gamma_M}; a_d \right]$$

Effetto delle azioni e resistenza sono espresse in funzione delle azioni di progetto $\gamma_F F_k$, dei parametri di progetto X_k/γ_M e della geometria di progetto a_d . L'effetto delle azioni può anche essere valutato direttamente come $E_d = E_k \times \gamma_E$. Nella formulazione della resistenza R_d , compare esplicitamente un coefficiente γ_R che opera direttamente sulla resistenza del sistema.

La verifica della suddetta condizione deve essere effettuata impiegando diverse combinazioni di gruppi di coefficienti parziali, rispettivamente definiti per le azioni (A1 e A2), per i parametri geotecnici (M1 e M2) e per le resistenze (R1, R2 e R3). I diversi gruppi di coefficienti di sicurezza parziali sono scelti nell'ambito di due approcci progettuali distinti e alternativi.

Nel primo approccio progettuale (Approccio 1) sono previste due diverse combinazioni di gruppi di coefficienti: la prima combinazione è generalmente più severa nei confronti del dimensionamento strutturale delle opere a contatto con il terreno, mentre la seconda combinazione è generalmente più severa nei riguardi del dimensionamento geotecnico.

Nel secondo approccio progettuale (Approccio 2) è prevista un'unica combinazione di gruppi di coefficienti, da adottare sia nelle verifiche strutturali sia nelle verifiche geotecniche.

Nelle verifiche agli stati limite ultimi per il dimensionamento geotecnico delle fondazioni (GEO), si considera lo sviluppo di meccanismi di collasso determinati dal raggiungimento della resistenza del terreno interagente con le fondazioni. L'analisi può essere condotta:

- con l'**approccio 1** attraverso la **Combinazione 2 (A2+M2+R2)**, nella quale i parametri di resistenza del terreno sono ridotti tramite i coefficienti del gruppo M2 e la resistenza globale del sistema tramite i coefficienti γ_R del gruppo R2. Nell'uso di questa combinazione, le azioni di progetto in fondazione derivano da analisi strutturali che devono essere svolte impiegando i coefficienti parziali del gruppo A2;
- con l'**approccio 2** attraverso la **Combinazione unica (A1+M1+R3)**, nella quale i coefficienti parziali sui parametri di resistenza del terreno (M1) sono unitari e la resistenza globale del sistema è ridotta tramite i coefficienti γ_R del gruppo R3. Tali coefficienti si applicano solo alla resistenza globale del terreno, che è costituita, a seconda dello stato limite considerato, dalla forza normale alla fondazione che produce il



collasso per carico limite, o dalla forza parallela al piano di scorrimento della fondazione che ne produce il collasso per scorrimento.

La verifica agli stati limite ultimi (SLU) sarà effettuata tenendo conto dei valori dei coefficienti parziali riportati nelle Tab. 6.2.I, 6.2.II e 6.4.I di cui al D.M. 17/01/2018

	Effetto	Coefficiente Parziale γ_F (o γ_E)	EQU	(A1)	(A2)
Carichi permanenti G_1	Favorevole	γ_{G1}	0,9	1,0	1,0
	Sfavorevole		1,1	1,3	1,0
Carichi permanenti $G_2^{(1)}$	Favorevole	γ_{G2}	0,8	0,8	0,8
	Sfavorevole		1,5	1,5	1,3
Azioni variabili Q	Favorevole	γ_Q	0,0	0,0	0,0
	Sfavorevole		1,5	1,5	1,3

Tabella 6.2.I – Coefficienti parziali per le azioni o per l'effetto delle azioni

PARAMETRO	GRANDEZZA ALLA QUALE APPLICARE IL COEFFICIENTE PARZIALE	COEFFICIENTE PARZIALE γ_M	(M1)	(M2)
<i>Tangente dell'angolo di resistenza al taglio</i>	$\tan \phi'_k$	$\gamma_{\phi'}$	1,0	1,25
<i>Coesione efficace</i>	c'_k	$\gamma_{c'}$	1,0	1,25
<i>Resistenza non drenata</i>	c_{uk}	γ_{cu}	1,0	1,4
<i>Peso dell'unità di volume</i>	γ	γ_γ	1,0	1,0

Tabella 6.2.II – Coefficienti parziali per i parametri geotecnici del terreno

La verifica di stabilità globale deve essere effettuata, analogamente a quanto previsto nel § 6.8, secondo la Combinazione 2 (A2+M2+R2) dell'Approccio 1, tenendo conto dei coefficienti parziali riportati nelle Tabelle 6.2.I e 6.2.II per le azioni e i parametri geotecnici e nella Tab. 6.8.I per le resistenze globali. **Le rimanenti verifiche devono essere effettuate applicando la combinazione (A1+M1+R3) di coefficienti parziali prevista dall'Approccio 2**, tenendo conto dei valori dei coefficienti parziali riportati nelle Tabelle 6.2.I, 6.2.II e 6.4.I.

Nelle verifiche nei confronti di SLU di tipo strutturale (STR), il coefficiente γ_R non deve essere portato in conto.

Verifica	Coefficiente parziale
	(R3)
Carico limite	$\gamma_R = 2,3$
Scorrimento	$\gamma_R = 1,1$

Tabella 6.4.I - Coefficienti parziali γ_R per le verifiche agli stati limite ultimi di fondazioni superficiali



6. VERIFICHE AGLI STATI LIMITE DI ESERCIZIO (SLE)

Saranno presi in considerazione almeno i seguenti stati limite di esercizio, quando pertinenti:

- eccessivi cedimenti o sollevamenti;
- eccessivi spostamenti trasversali.

Specificamente, saranno calcolati i valori degli spostamenti e delle distorsioni nelle combinazioni caratteristiche previste per gli stati limite di esercizio di cui al § 2.5.3 del DM 17.01.2018, per verificarne la compatibilità con i requisiti prestazionali della struttura in elevazione, come prescritto dalla condizione [6.2.7]. La geometria della fondazione (numero, lunghezza, diametro e interasse dei pali) sarà stabilita nel rispetto dei summenzionati requisiti prestazionali, tenendo opportunamente conto degli effetti di interazione tra i pali e considerando i diversi meccanismi di mobilitazione della resistenza laterale rispetto alla resistenza alla base, soprattutto in presenza di pali di grande diametro.

